

都立大 正会員 ○ 小泉敏一  
 同 同 望月利男  
 同 学生員 宮野道雄

1. はじめに 本研究は characteristics method<sup>1)</sup>による地盤の非線形地盤応答計算に関して、すでに望月・北川<sup>2), 3)</sup>が検討してきたべき関数型履歴モデルが適用することを試みたものである。またここに示す計算法は地層下端における境界条件を考慮しているので、基盤上部境界面における入射波・反射波はそれを評価できる。

2. 土の復元力モデル・動的パラメータ 振動時の土のせん断応力-ひずみ( $\tau-\delta$ )の履歴特性は次式で表わされるものとする： 骨曲線  $\tau/\tau_y = \alpha(\delta/\delta_y)^\alpha$ 、 履歴曲線  $\delta/\delta_y = \pm 2\pi f(\delta_y + \delta)/2\pi f_0^\alpha \alpha(\delta_y + \delta)^\alpha$  (1)

ここに、 $\tau_y, \delta_y$  は無次元化定数であるが、微小振動時の応力-ひずみ関係(線形性が成立すると仮定)を満足する任意の値とする。また  $f$  は折り返し点のひずみを表わす。履歴曲線の符号は、上をとる時が加力線、下が減力線に対応する。ここで、(1)式中の非線形パラメータ  $\alpha, f_0$  を実験結果から  $\tau-\delta$  関係を最もよく表わすよう決定する。

$$\alpha = \frac{4f(\delta_y)^\alpha - g(\delta_y)}{4f(\delta_y)^\alpha + g(\delta_y)}, \quad f_0 = \frac{f(\delta_y)^\alpha}{\delta_y^\alpha} \quad (2)$$

ここに、 $\delta = \delta/\delta_y, \tau = \tau/\tau_y, f(\delta_y), g(\delta_y)$  はそれぞれ  $\tau-\delta$  関係の骨曲線、ループの固有面積である。すなわち、土の動的実験における  $\tau-\delta$  関係の骨曲線、ループの固有面積が、ひずみの任意の関数で近似できれば、 $\alpha, f_0$  は(2)式のように一般性をもたせた表現になる。この  $\alpha, f_0$  を用いた上記べき関数型履歴モデルは、実験結果を近似関数化したモデルと振動的に等価である。しかし、動的パラメータを求めるために行われた実験の報告では一般に、その結果は  $G/G_0-\delta$ 、 $\delta-\delta$  の型でまとめられている(図で示されている場合が多い)。そのような結果を利用する場合は、 $\tau = G(\delta)$  として骨曲線を近似関数化することに合う( $G_0$  は例えは弾性時のせん断常数とする)。面積  $g(\delta)$  は、 $h = \frac{1}{2\pi} \cdot \frac{\Delta W}{W}$  の関係<sup>4)</sup>、すなわち減衰定数  $h = g(\delta)/(2\pi f_0 \tau)$  から近似関数化することになる。

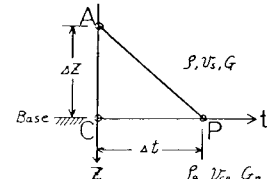
3. 応答計算 i) 基盤の設定： characteristics method で地表あるいは地中の観測波が与えられ、それに對する地中あるいは地表の応答を求める場合、特に基盤を設定する必要はない。しかし入射波が与えられた場合あるいは入射波を求める問題(例えは、観測波を他地点の地盤への入力に使う場合など)においては、基盤の効果を考慮する必要がある。いま、図-1 のような diagram を考え、 $U, V$  を変位および速度とし、 $I, R$  を入射波、反射波を表す文字、 $B$  を基盤を表す文字とすれば、基盤でのせん断応力は、 $\tau_B = G_B (\partial U_B / \partial Z + \partial U_R / \partial Z)$  で表わされ、変位  $U_B = U_z (Z + V_{SB} t) + U_R (Z - V_{SB} t)$  の関係を用いれば(3)式で  $\tau_B$  が、また(3)式から  $V_B (= V_B(t+\Delta t))$  が(4)式のように定まる。

$$\tau_B = P_B U_{SB} (2V_z - V_B) \quad (3)$$

$$V_B = \frac{1}{P_B U_{SB} + P_U S} [2P_B U_{SB} V_z (t + \Delta t) - \tau_A + P_U S V_A + \frac{G}{4\pi} \{ V_B(t) - V_A \}] \quad (4)$$

すなわち、基盤における入射波  $V_z(t)$  が与えられれば、 $V_A(t)$  を介して、 $V_B(t + \Delta t)$  が(4)式で、また  $\tau_B(t)$  は(3)式で求められる。また  $V_B(t)$  から  $V_z(t)$  を求めることは、その逆の操作で行われる。ここに、 $P$  は密度、 $V_S$  は S 波速度。 図-1 z-t diagram

ii) モデル地盤と入射波：後に計算例として示すモデル地盤は層厚 10, 20, 30 m,  $V_S = 100 \text{ m/s}$ ,  $\rho g = 1.8 \text{ t/m}^3$  の一様な表層をもち、その基盤は  $v_{SB} = 500 \text{ m/s}$ ,  $P_B g = 2.0 \text{ t/m}^3$  とする。(いずれも  $v_S$  は弾性時 ( $\delta \leq 0.001\%$ ) の値であり、また減衰は履歴による効果のみを考えている(ある)は粘性減衰はゼロ)。入射波は white noise (加速度のワーリエスペクトルがほぼ一定、10 Hz 以上カット)。El centro (1940, NS) 地震波であり水も入射最大加速度 50, 100, 150, 200 gal として計算した。



iii) 表層地盤の動特性：土の非線形動特性は原ほか<sup>4)</sup>のシルト質粘土の動的せん断試験結果から、 $\gamma$ - $\gamma_y$ 、 $\gamma$ - $\zeta$ 関係などを大体平均化したもので、Z. で述べた表現により、それぞれ次式のように近似される。

$$\frac{G}{G_0} = \begin{cases} (\gamma/\gamma_y)^{-0.025} \\ 3.106(\gamma/\gamma_y)^{-0.406} \end{cases}, \quad \text{骨歯線 } f(\gamma') = \frac{\gamma}{\gamma_y} = \begin{cases} (\gamma/\gamma_y)^{0.975} \\ 3.106(\gamma/\gamma_y)^{0.594} \end{cases}$$

$$\gamma_y = 0.001\% \quad \text{ルーツ面積 } g(\gamma') = \frac{g(\gamma)}{\gamma_y \gamma'} = 0.126 \frac{G}{G_0} (\gamma/\gamma_y)^{2.338}$$

$$: \gamma \leq 0.02\% \quad : \gamma > 0.02\% \quad (5)$$

この  $f(\gamma')$ 、 $g(\gamma')$  からべき関数型履歴系の  $\alpha$ 、 $\beta$  は(2)式で決定される。また、応答計算における動的履歴法則は文献3)に従っており、継続時間、およびモード割合はそれぞれ  $10.24\text{ sec}$ 、 $0.01\text{ sec}$  としている。

4. 計算結果について 計算結果を図-2～図-7に例示する。ひずみは地盤モデルが深さ方向に一様なため、大略深さに比例して増大するが、入射波の周波数特性が地盤の高次振動を顕著に誘発する場合、中間層のひずみが大きくなり(図-2)、その深さでの加速度が地表の値を上まわる傾向がみられる。これらは高ひずみレベルで著しいものとなる(図-2・3)。ひずみの増大に伴う履歴減衰の効果は、図-4の(a)、(b)を比較するとよくわかる。また、図-4・5 から周波数特性の変化の程度が読みとれる。周波数応答計算による共振時応答倍率はひずみの増大により低下すると考えられるが( $P_B/\zeta_{SB}/P_{HS}$  は増すが)、図-6・7に示す結果はやや複雑である。たゞ加速度は大体低下している。以上の結果のうち、ひずみ  $1.0\%$  以上は土の動特性の実験式が極めて大きなひずみに対しても連続性を保つとしての結果であり、限界がある。また、数値積分、数値微分などの精度検討を今後の大きな課題であるがこの方法は基本的にはアセス、計算時間からみて十分実用に供しうる。尚この研究に貴重な実験データを賜った鹿島建設技術研究所原昭夫氏に感謝いたします。

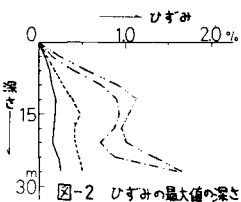


図-2 ひずみの最大値の深さ分布(El centro, 層厚30m)

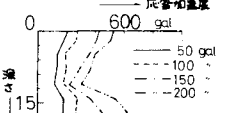


図-3 応答加速度の最大値の深さ分布(El centro, 層厚30m)

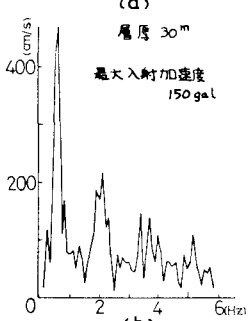
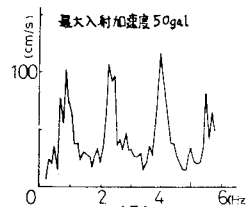


図-4 white noise 入射

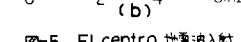
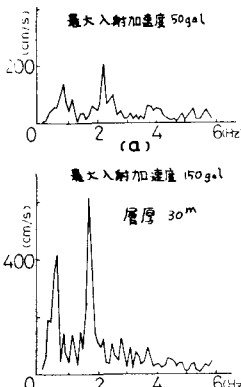


図-5 El centro 地震波入射

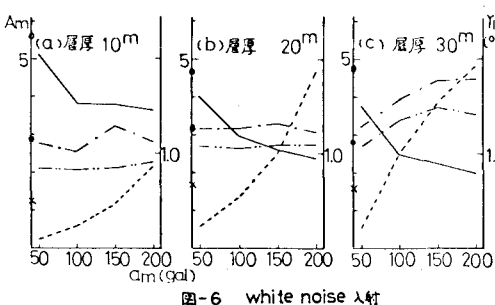


図-6 white noise 入射

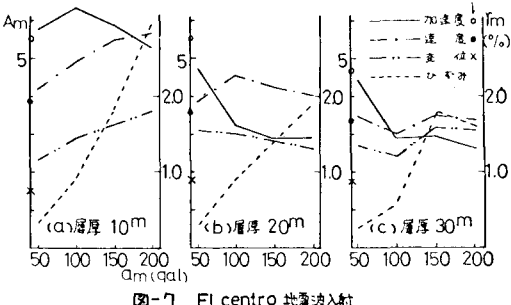


図-7 El centro 地震波入射

#### — 最大入射加速度 $A_m$ と最大応答倍率(地表) $A_m \cdot \text{最大ひずみ } Y_m$ の関係 —

- 文献: 1) C.N. Papadakis: Soil Transients by Characteristics Method. A dissertation for the Degree of Philosophy. Michigan, U.S.A., 1970.  
 2) 望月・北川: 一般履歴系の復元力モデルについて(その1, その2). 建築学会関東支部研究報告, 1976.  
 3) 望月・北川: 履歴系の復元力モデルへの置換について(その3). 建築学会論文報告集, 第256号, 1977.  
 4) 原・清田: Dynamic Shear Tests of Soils for Seismic Analysis. Proc. 9th. ICSMFE, 1977.